

PAPER DETAILS

TITLE: 27 Al, 54 Fe, 58 Ni ve 90 Zr Hedef Çekirdekleri İçin 10-30 MeV Enerji Aralığında (\hat{I}^3,p)

Reaksiyon Tesir Kesiti Hesaplamaları

AUTHORS: Veli ÇAPALI, Hasan ÖZDOGAN, S Sedat DOGAN, Abdullah KAPLAN

PAGES: 107-112

ORIGINAL PDF URL: <https://dergipark.org.tr/tr/download/article-file/116412>

^{27}Al , ^{54}Fe , ^{58}Ni ve ^{90}Zr Hedef Çekirdekleri İçin 10–30 MeV Enerji Aralığında (γ ,p) Reaksiyon Tesir Kesiti Hesaplamaları

Veli Çapalı^{1,*}, Hasan Özdoğan^{1,2}, S. Sedat Doğan¹, Abdullah Kaplan¹

¹Süleyman Demirel Üniversitesi, Fen-Edebiyat Fakültesi, Fizik Bölümü, 32260, Isparta, Türkiye

²Akdeniz Üniversitesi, Tıp Fakültesi, Biyofizik A.D., 07070, Antalya, Türkiye

*Yazışılan yazar e-posta: velicapali@sdu.edu.tr

Alınış: 05 Mayıs 2014, Kabul: 26 Haziran 2014

Özet: Bu çalışmada; ^{27}Al , ^{54}Fe , ^{58}Ni ve ^{90}Zr gibi füzyon reaktörü yapı malzemeleri için 10–30 MeV enerji aralığında oluşturulan (γ ,p) reaksiyonlarının denge ve denge–öncesi nükleer reaksiyon modelleri kullanılarak, proton üretim tesir kesitleri incelenmiştir. Hesaplamalarda, Denge–öncesi hesaplamalar için; TALYS 1.6 İki Bileşenli Exciton Model ve EMPIRE 3.1 Exciton Model, denge hesaplamaları için ise; PCROSS Weisskopf–Ewing Model kullanılmıştır. Elde edilen sonuçlar, Deneyel Nükleer Reaksiyon Data (EXFOR) Kütüphanesi’nden alınan deneyel değerlerle karşılaştırılmıştır.

Anahtar kelimeler: Nükleer reaksiyon modelleri, füzyon reaktörleri, reaksiyon tesir–kesiti, EXFOR, denge ve denge–öncesi reaksiyonlar

(γ ,p) Reaction Cross Section Calculations for ^{27}Al , ^{54}Fe , ^{58}Ni and ^{90}Zr Target Nuclei in the Energy Range of 10–30 MeV

Abstract: In this study, proton production cross-sections of (γ ,p) reactions for several fusion reactor structural materials such as ^{27}Al , ^{54}Fe , ^{58}Ni and ^{90}Zr have been investigated in the incident photon energy range of 10–30 MeV using pre-equilibrium and equilibrium nuclear reaction models. TALYS 1.6 Two Component Exciton Model and EMPIRE 3.1 Exciton Model for the pre-equilibrium reactions and PCROSS Weisskopf–Ewing Model for the equilibrium reactions have been used. The calculated results have been compared with experimental data taken from the Experimental Nuclear Reaction Data (EXFOR) library.

Key words: Nuclear reaction models, fusion reactors, reaction cross–section, EXFOR, equilibrium and pre-equilibrium reactions

1. Giriş

Reaktördeki nükleer reaksiyonlar sırasında materyallerin yapısal dayanıklılığını etkileyebilecek değişimler oluşabilmektedir. Bu problemlerin önemini anlaşılabilmek ve sorunların giderilebilmesi için tesir kesitlerinin ve parçacık yayılmasına spektrumlarının deneyel olarak ölçümleri ve önceden olusabilecek durumların belirlenebilmesi için de teorik hesaplamaların yapılması gereklidir. Araştırma geliştirme çalışmalarının odak noktası; bu etkiyi anlamak, özel bileşenleri ve mikro yapıları geliştirme aşamasında kullanmak ve uygun malzemeyi üretmektir.

Füzyon güç reaktörlerilarındaki güncel çalışmalar incelendiğinde, çalışmaların reaktör yapısal malzemeleri üzerine yoğunlaştiği görülmektedir. Füzyon reaktörü yapı malzemelerinin seçimi, füzyon reaktör teknolojisi için vazgeçilmez bir bileşendir. Füzyon reaktörlerinde yapı malzemesi olarak kullanılan çekirdeklerin farklı parçacıklarla bombardımanı sonucunda oluşan nükleer reaksiyon etkilerinin incelenmesi; özellikle bu çekirdeklerin yapılarının tam anlaşılmaması, reaksiyon sonucu

üretilen parçacıkların kullanımının geliştirilmesi ve ayrıca parçacık hızlandırıcılarının ve füzyon reaktörlerinin zırhlanması bakımından önemlidir.

Deneysel ölçümeler uzun süreli, masraflı ve de her izotop için her enerjide mümkün olmasa da, reaksiyon mekanizmaların anlaşılabilmesi ve teorik modellerin hazırlanıp geliştirilebilmesi için deneysel tesir kesitlerine ihtiyaç vardır. Aynı zamanda; teorik modellerin doğrulanması ve empirik formül çalışmalarının oluşturulabilmesi için, deneysel verilere başvurulmaktadır. Diğer taraftan; bilimsel olarak doğrulanmış ve başarılı bir öngörüye sahip teorik nükleer model ile elde edilen tesir kesiti verisi, deneysel yolla elde edilemeyen bir eksikliği giderebilir. Bu durumda, hem deneysel hem de teorik tesir kesiti çalışmaları bu alanda önemli bir ihtiyaçtır. Ayrıca; elde edilen nükleer veriler, nükleer yapının araştırılması için teorik çalışmalarında ve nükleer modellerin geliştirilmesinde de önemli yer tutmaktadır.

Bu çalışmada; denge ve denge-öncesi nükleer reaksiyon modelleri kullanarak, 10–30 MeV enerji aralığında (γ, p) reaksiyon tesir kesitleri ^{27}Al , ^{54}Fe , ^{58}Ni ve ^{90}Zr hedef çekirdekleri için hesaplanmıştır. Hesaplanan teorik ve deneysel tesir kesiti değerleri her bir reaksiyon için Şekil 1–4’ te verilmiştir. Deneysel değerler EXFOR/CSISRS kütüphanesinden [1] elde edilen değerler ile karşılaştırılmıştır.

2. Materyal ve Metot

Füzyon reaktörü yapı malzemesi olarak kullanılan materyallerden ^{27}Al , ^{54}Fe , ^{58}Ni ve ^{90}Zr izotoplарının hedef çekirdekleri ile oluşturulan 10–30 MeV enerji aralığında (γ, p) reaksiyonlarına ait tesir kesitleri denge ve denge-öncesi reaksiyon modelleri kullanılarak hesaplanmıştır. Denge hesaplamaları için; PCROSS [2] (Weisskopf-Ewing Model) [3], denge-öncesi hesaplamaları için ise; EMPIRE 3.1 (Exciton Model) [4,5] ve TALYS 1.6 (İki Bileşenli Exciton Modeli ve Pre-Equilibrium Model) [6] bilgisayar işlem tabanlı hesaplama programları kullanılmıştır.

Denge reaksiyonları; mermi parçacığının hedef çekirdekle etkileşmesi sonrasında mermi+hedef sistemini oluşturduktan sonra, direk reaksiyonlara göre uzun sayılabilcek bir süre ($10^{-16} – 10^{-18}$) sonra parçacık yayılanmanın mümkün olduğu bir süreçtir. 10–20 MeV gibi düşük enerjilerde geçerli olan bu süreç, Weisskopf-Ewing Modeli ile açıklanmıştır. Denge reaksiyonu hesaplamaları için temel parametreler; ters reaksiyon kesiti, bağlama enerjileri, çift oluşum enerjisi ve seviye yoğunluk parametreleridir.

Nükleer reaksiyonda, giriş kanalı a ve çıkış kanalı b olmak üzere reaksiyon tesir kesiti;

$$\sigma_{ab}^{WE} = \sigma_{ab}(E_{inc}) \frac{\Gamma_b}{\sum_{b'} \Gamma_{b'}} \quad (1)$$

şeklinde yazılır. Denklem 1’de; Γ_b ,

$$\Gamma_b = \frac{2 s_b + 1}{\pi^2 \hbar^2} \mu_b \int d\varepsilon \sigma_b^{inv}(\varepsilon) \varepsilon \frac{\omega_1(U)}{\omega_1(E)} \quad (2)$$

dir. Denklem 2'de; U çekirdek uyarım enerjisi, μ_b indirgenmiş kütle, S_b spindir. Toplam tek parçacık yoğunluk seviyesi;

$$\omega_1(E) = \frac{1}{\sqrt{48}} \frac{\exp[2\sqrt{\alpha(E-D)}]}{E-D} \quad \alpha = \frac{6}{\pi^2} g \quad (3)$$

ile hesaplanır. Burada; σ_b^{inv} ters tepkime tesir kesiti, E bileşik çekirdek uyarım enerjisi, D çift oluşum enerjisi ve g tek parçacık için yoğunluk seviyesidir [7].

EMPIRE; çeşitli nükleer modeller içeren, nükleer reaksiyon hesaplama kodlarında oluşan bir bilgisayar programı olup, enerjileri ve olay parçacıkları geniş bir enerji aralığı üzerinde hesaplamalar için tasarlanmıştır [5]. EMPIRE denge-öncesi nükleer reaksiyon hesaplamaları için Exciton model kullanmaktadır. Exciton model [4], gelen parçacık ile hedef çekirdek arasındaki ilk etkileşmeden sonra uyarılmış sistemin giderek artan karmaşıklıktaki bir dizi basamaktan geçtikten sonra dengeye ulaşılabilğini varsayar. Exciton model hesaplamaları için; Cline [8] ve Ribansky [9] tarafından önerilen,

$$-q_{t=0}(n) = \lambda_+(E, n+2)\tau(n+2) + \lambda_-(E, n-2)\tau(n-2) - [\lambda_+(E, n)\lambda_+(E, n) + L(E, n)]\tau(n) \quad (4)$$

Denklem 4 kullanılmaktadır. Burada; $q_t(n)$ “ n ” eksiton sayısı olmak üzere kompozit çekirdeğin ilk oluşum ihtimalı, $\lambda_+(E, n)$ ve $\lambda_-(E, n)$ komşu izotoplar için bozunum geçiş oranı ve $L(E, n)$ parçacıklar ve γ -ışını için yayılanma enerjisi üzerinden hesaplanan toplam yayılanma oranıdır. Denge-öncesi spektrum hesaplamaları için,

$$\frac{d\sigma_{a,b}}{d\varepsilon_b}(\varepsilon_b) = \sigma_{a,b}^r(E_{inc})D_{a,b}(E_{inc}) \times \sum_n W_b(E, n, \varepsilon_b)\tau(n) \quad (5)$$

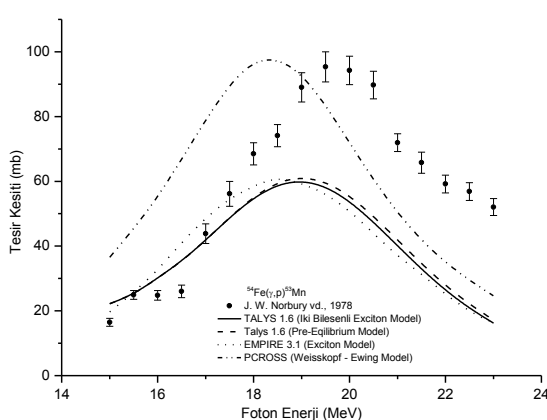
Denklem 5 kullanılmaktadır. Burada; $\sigma_{a,b}^r(E_{inc})$, (a, b) reaksiyonu için tesir kesiti, $W_b(E, n, \varepsilon_b)$ “ n ” eksiton’undaki ε_b enerjili parçacığın yayılanma olasılığı ve E bileşik çekirdek eksiton enerjisidir. $D_{a,b}(E_{inc})$ azaltma faktöründür [10].

TALYS; proton, nötron, triton, döteron, ${}^3\text{He}$ ve alfa parçacıklarını içeren, 1keV – 1GeV enerji aralığında nükleer reaksiyon hesaplama ve analiz işlemlerini gerçekleştiren bir simülasyon programıdır. Bu hesaplama ve analiz işlemleri için TALYS içerisinde; optik modeller, denge öncesi model, fisyon modelleri, nükleer seviye yoğunluk modelleri, nükleer model parametreleri, gama fonksiyonları ve istatistiksel nükleer reaksiyon modelleri entegre edilmiştir. Böylece, tüm nükleer reaksiyon kanalları için bir analiz sonucu vermektedir [6]. TALYS programında denge-öncesi reaksiyonlar hesaplamaları için Kalbach [11] sistematikleri kullanılmıştır. Kalbach sistematikleri tekli ve çift bileşenli eksiton yaklaşımlarına sahiptir. Bu çalışmada, çift bileşenli eksiton modeli kullanılmıştır.

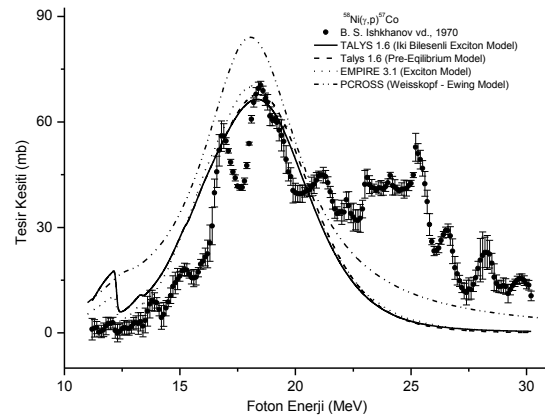
3. Bulgular

Bu çalışmada; $^{54}\text{Fe}(\gamma, \text{p})^{53}\text{Mn}$, $^{58}\text{Ni}(\gamma, \text{p})^{57}\text{Co}$, $^{90}\text{Zr}(\gamma, \text{p})^{89}\text{Y}$ ve $^{27}\text{Al}(\gamma, \text{p})^{26}\text{Mg}$ reaksiyonları için 10–30 MeV foton gelme enerjisi aralığında denge ve denge–öncesi nükleer reaksiyon modelleri kullanılarak tesir kesiti hesaplamaları gerçekleştirilmiştir.

$^{54}\text{Fe}(\gamma, \text{p})^{53}\text{Mn}$ reaksiyonuna ait deneyel ve teorik hesaplama sonuçlarının karşılaştırılması Şekil 1’de verilmiştir. TALYS 1.6 (İki Bileşenli Exciton Model ve Pre-Equilibrium Model) ve EMPIRE 3.1 Exciton Model hesaplama değerleri bir biri ile uyum içerisinde olmakla birlikte, genelde deneyel verileri aşağıdan takip etmektedir ve 15–18 MeV arasında deneyel değerler ile uyumludur. PCROSS Weisskopf–Ewing Model hesaplamaları deneyel değerler ile aynı yapıyı sergilese de uyumsuzdur. $^{58}\text{Ni}(\gamma, \text{p})^{57}\text{Co}$ reaksiyonu için yapılan teorik ve deneyel çalışmalara göre (Şekil 2), TALYS 1.6 hesaplamaları ve EMPIRE 3.1 Exciton Model değerleri deneyel verilerle 22 MeV foton gelme enerjisine kadar tamamen olmamakla birlikte uyumludur. PCROSS Weisskopf–Ewing Model hesaplamaları ise, 20 MeV’e kadar deneyel değerleri üstten takip etmiştir.

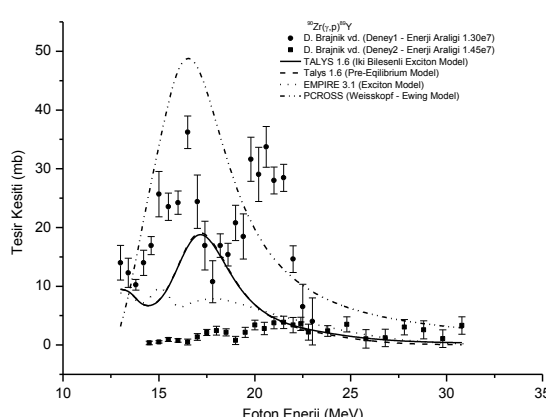


Şekil 1. $^{54}\text{Fe}(\gamma, \text{p})^{53}\text{Mn}$ reaksiyonu için tesir kesiti hesaplamalarının deneyel verileri ile karşılaştırılması.

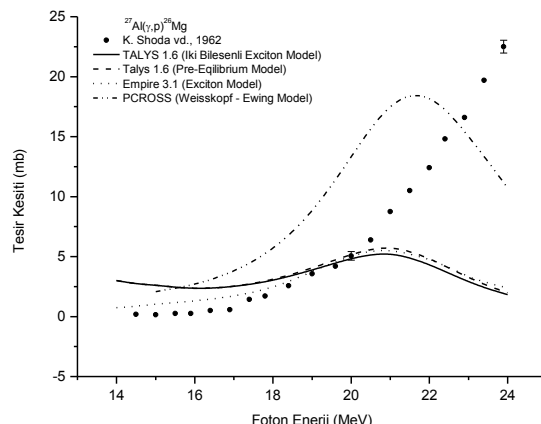


Şekil 2. $^{58}\text{Ni}(\gamma, \text{p})^{57}\text{Co}$ reaksiyonu için tesir kesiti hesaplamalarının deneyel verileri ile karşılaştırılması.

$^{90}\text{Zr}(\gamma, \text{p})^{89}\text{Y}$ reaksiyonu için yapılan teorik ve deneyel çalışmalara göre (Şekil 3), TALYS 1.6 (İki bileşenli Exciton Model ve Pre-Equilibrium Model) modelleri D. Barjnik vd.’in [12] birinci deneyel değerleri ile 23 MeV’e kadar uyumlu olup, D. Barjnik vd.’in ikinci deneyel verileri için ise 23–31 MeV enerji aralığında tam uyumludur. EMPIRE 3.1 Exciton Model ise; deneyel verilerden düşük değerler alsa da, 21–31 MeV arasında D. Barjnik vd.’in ikinci deneyel değerleri ile uyumludur. PCROSS Weisskopf–Ewing Model hesaplamaları deneyel değerleri, D. Barjnik vd.’in birinci deneyel sonuçları ile kısmen uyumlu olup, 25 MeV den sonra D. Barjnik vd.’in ikinci deneyel değerleri ile uyum sergilemektedir. $^{27}\text{Al}(\gamma, \text{p})^{26}\text{Mg}$ reaksiyonu için yapılan teorik ve deneyel çalışmalara göre (Şekil 4), EMPIRE 3.1 Exciton Model hesaplamaları deneyel veriler ile 20 MeV kadar uyumlu olup, bu değerden sonra deneyel verilerden sapmıştır. TALYS 1.6 hesaplamaları ise, 19 MeV kadar deneyel verilerden yüksek değerler almasına rağmen 20 MeV den sonra uyumsuzdur. PCROSS Weisskopf–Ewing Model hesaplamaları deneyel değerleri ile uyum göstermemiştir.



Şekil 3. $^{90}\text{Zr}(\gamma, \text{p})^{89}\text{Y}$ reaksiyonu için tesir kesiti hesaplamalarının deneysel veriler ile karşılaştırılması.



Şekil 4. $^{27}\text{Al}(\gamma, \text{p})^{26}\text{Mg}$ reaksiyonu için tesir kesiti hesaplamalarının deneysel veriler ile karşılaştırılması.

4. Sonuç ve Yorum

Genelde; TALYS 1.6 (İki bileşenli Exciton Model ve Pre-Equilibrium Model) modelleri birbirleri ile uyumlu sonuçlar vermesine rağmen, deneysel verileri aşağıdan takip etmektedir. Weisskopf-Ewing Model, deneysel verilerin geometrisini yakalasa da, deneysel verilerden yüksek değerler almıştır. EMPIRE 3.1 Exciton Model model hesaplamaları deneysel verilerden düşük değerler alsa da, TALYS 1.6 modelleri ile yaklaşık 20 MeV den sonra yakın sonuçlar vermektedir. Kullanılan bilgisayar kodlarında yer alan model parametre değerleri değiştirilerek, hesaplama sonuçları deneysel verilerle uyum sağlayabilir.

Bu çalışmada bulgular; yapılması planlanan füzyon reaktörleri ve yapılmakta olan hızlandırıcı merkezlerinde kullanılan ve/veya kullanılacak olan yapı elementlerinin nükleer reaksiyon modellerine dayanan tesir kesiti hesaplamaları; radyoizotop üretim programları için gerekli veri tabanının güçlendirilmesi, yeni veri tabanı oluşturulması, üretim teknolojisinin geliştirilmesi, fisyon ve füzyon reaktörlerinin anlaşılması ve yapılacak deneysel çalışmalara model oluşturulması açısından değerlendirilebilir.

Teşekkür ve Bilgi

Bu çalışma; Süleyman Demirel Üniversitesi Bilimsel Araştırma Projeleri Koordinasyon Birimi 3748-D2-13 nolu proje tarafından desteklenmektedir. Ayrıca, Adım Fizik Günleri III 2014'de poster olarak sunulmuştur.

Kaynaklar

- [1] Brookhaven National Laboratory, National Nuclear Data Center, EXFOR/CSISRS (Experimental Nuclear Reaction Data File). Database Version of November 20, 2013 (2013), (<http://www.nndc.bnl.gov/exfor/>)
- [2] Capote R., et al., Final Report on Research Contract 5472/RB, INDC(CUB)-004 (Higher Institute of Nuclear Science and Technology, Cuba), Translated by the IAEA on March 1991 (PCROSS program code)

- [3] Weisskopf V.F., Ewing D.H., 1940. On the yield of nuclear reactions with heavy elements, *Physical Review*, 57(6): 472-486.
- [4] Herman M., et al., 2007. EMPIRE: Nuclear Reaction Model Code System for Data Evaluation, *Nucl. Data Sheets*, 108: 2655-2715.
- [5] Herman M., et al., EMPIRE-3.1 Rivoli Modular System for Nuclear Reaction Calculations and Nuclear Data Evaluation, User's Manual (2012).
- [6] Koning, A., Hilaire, S., Goriely, S., TALYS-1.6 A Nuclear Reaction Program, User Manual (NRG, The Netherlands), First Edition: December 23, 2013.
- [7] Özdoğan H., Kaplan, A., 2013. ^{197}Au için reaksiyon tesir kesiti hesaplamaları, *SDÜ Fen Dergisi*, 8 (1): 82-91.
- [8] Cline C.K., 1972. The Pauli exclusion principle in pre-equilibrium decay, *Nuclear Physics A*, 195: 353-360.
- [9] Ribansky I., et al., 1973. Pre-equilibrium decay and the exciton model, *Nuclear Physics A*, 205: 545-560.
- [10] Kaplan A., Çapalı, V., 2014. Cross-section calculations on several structural fusion materials for ($\gamma, 3n$) reactions in the photon energy range of 20–110 MeV, *Journal of Fusion Energy*, 33: 299-303.
- [11] Kalbach C., 2005. Preequilibrium reactions with complex particle channels, *Physical Review C*, 71: 034606.
- [12] Brajnik D., et al., 1976. Photonuclear reactions in ^{90}Zr , *Physical Review C*, 13: 1852-1863.

Hasan ÖZDOĞAN e-posta : hasanozdogan@akdeniz.edu.tr

S. Sedat DOĞAN e-posta: s_s_dogan32@hotmail.com

Abdullah KAPLAN e-posta: abdullahkaplan@sdu.edu.tr